

영상신호의 고속처리를 위한 최적화 알고리즘에 대한 연구

正會員 權 起 勇*

A study of optimal algorithm for high-speed process of image signal

Kee Hong Kwon*

要 約

본 논문에서는 흐릿된 영상을 처리하는 방법에 대하여 연구하였다. 기존의 처리방법은 특이점이나 악 조건일 경우 수렴 속도가 늦어진다는 점과 처리시간이 많이 소요되는 단점이 있다.

이러한 단점을 보완하기 위하여 Gauss Seidel 방법으로 처리하는 방법이 있으나 이러한 경우 영상을 반복해서 처리해야 하므로 처리시간이 많이 소요된다.

이러한 단점(수렴 속도, 전체 처리시간)을 개선하기 위하여 본 논문에서는 기존의 신호처리(Gauss Seidel)와 제안된 알고리즘을 적용시켜 비교하여 봄으로써 특이점 혹은 악조건일 경우에도 수렴속도를 고속화하여 기존의 Gauss-Seidel 신호 처리 방법보다 처리 시간을 단축할 수 있는 영상 복원 방법을 제시하였다.

제안된 최적화 알고리즘을 영상신호에 적용시켜 가속 상수에 따른 처리 신호의 simulation과 MSE(mean square error)의 변화를 비교하여 봄으로써 처리정도를 알아보았다.

그리고, 본 알고리즘의 유효성을 입증하기 위하여 모든 가속상수의 변화에 대한 영상복원 결과와 처리시간을 측정하여 보았다.

ABSTRACT

In this paper, the method of processing a blurred noisy image has been researched.

The conventional method of processing signal has faults which are slow convergence speed and long time-consuming process at the singular point and/or in the ill condition.

There is the process, the Gauss Seidel's method to remove these faults, but it takes too much time because it processed singnal repeatedly.

For overcoming the faults, this paper shows a image restoration method which takes shorter than the Gauss-Seidel's by comparing the Gauss Seidel's with proposed alogorithm and accelerating convergence speed at the singular point and/or in the ill condition.

In this paper, the conventional process method(Gauss-Seidel) and proposed optimal algorithm were used to get a standard image($256 \times 56 \times$ bits), and then the results are simulated and compared each other in order

* 신임전문대학 전자계산과

Dept. of Computer Science., Shiil Technical College

論文番號 : 94172

接受日 : 1994年 6月 27日

to examine the variance of MSE(Mean Square Error) by the acceleration parameter in the proposed image restoration.

The result of the signal process and the process time was measured at all change of acceleration parameter in order to verify the effectiveness of the proposed algorithm.

I. 서 론

일반적인 신호처리 방법의 경우적인 목적은 원래의 입력신호와 가장 유사한 값을 신호를 재현하는데 중점을 두고 있다.

신호는 시스템이 가진 특성으로 인해 영상, 감지, 기록, 전송의 단계를 거치는 동안 여러원인에 의해 훼손된다.

이러한 훼손은 다음과 같이 표현된다.^[1]

$$y = H \cdot x + n \quad (1)$$

훼손된 신호 y 는 원래의 입력신호 x 가 시스템함수 H 에 의해 흐려지고, 잡음 n 이 더하여진 형태로 나타난다.

식(1)과 같이 훼손된 신호는 보통 흐림훼손과 가산잡음에 의한 훼손으로 나뉘어 각 분리 처리되고 있다.

즉, 흐림에 의한 훼손을 처리하는 엑스터, Jacobi방법, Gauss Seidel방법등과, 가산잡음에 의한 훼손을 처리하는 Winear, Lee, CSW, 직용성 편리 등이 있으나, 흐림훼손과 가산잡음에 의한 훼손을 처리하는 Tikhonov Miller방법등이 있다. 기존의 Jacobi방법이나 Gauss Seidel방법은 수학적인 모델이 비교적 간단하고, 신호처리효과도 우수한 실용적인 방법이다.

그러나, 이러한 신호처리방법이 이러한에서 우수함에도 불구하고 그동안 신호처리에 적용될때 발생되는 가장 큰 단점은 신호처리시 항상 수렴하지 않은 뿐 아니라 수렴시 반복처리를 필요로 하여 많은 처리시간의 소요와 식(1)과 같이 잡음이 포함되어 있는 훼손의 경우에 이 방법을 적용하였을 경우 잡음의 증폭이 발생한다.^[2]

본 논문에서는 신호처리의 장점과 Tikhonov Miller방법의 단점을 이용한 방법에 가속 상수를 도입, 가중의 여러가지 단점을 보완하고, 신호처리정도를 증가시킬 뿐만 아니라, 기존의 방법에 있어서 가장 문제시되

는 처리시간을 현저히 줄일 수 있는 새로운 알고리즘을 제안하였다.

본 논문에서 제안하게 된 알고리즘은 수학적 해석과 신호처리기술에 바탕을 두며, 이로부터 유도해석된 최적화 상수를 이용하여 신호를 고속처리 가능케 할 것이다.

II. 기존 신호 처리 방법의 분석

1. Jacobi/Gauss-Seidel 처리 방법

신호가 식(1)과 같이 훼손되었을 경우, 신호처리시 역행렬이 존재하지 않으면 해를 구할 수 없다.

즉, II-1의 경우, II가 둘이집을 가지거나 약조건인 경우 악판타 바임으로 처리가 불가능하다. 이러한 단점을 해결하기 위하여 Jacobi 반복 처리 방법이 있는데 이 방법은 (0)이 아닌 대각선 요소를 갖는 행렬에 사용한다.

예를 들어 AX-B라는 식 (2)에서 Jacobi방법을 적용하는 경우 다음과 같다.^[3]

$$\begin{vmatrix} a_{11} & a_{12} & a_{13} \\ a_{21} & a_{22} & a_{23} \\ a_{31} & a_{32} & a_{33} \end{vmatrix} \begin{vmatrix} x_1 \\ x_2 \\ x_3 \end{vmatrix} = \begin{vmatrix} b_1 \\ b_2 \\ b_3 \end{vmatrix} \quad (2)$$

첫번째 반복시에는

$$\begin{aligned} x_1 &= (b_1 - a_{12}, x_2 - a_{13}, x_3) / a_{11} \\ x_2 &= (b_2 - a_{21}, x_1 - a_{23}, x_3) / a_{22} \\ x_3 &= (b_3 - a_{31}, x_1 - a_{32}, x_2) / a_{33} \end{aligned} \quad (3)$$

과 같은 식이 된다.

일반적으로 Jacobi방법의 알고리즘은

$$x_i^{(k+1)} = \frac{(b_i - \sum_{j=1}^{i-1} a_{ij} * x_j^{(k)} - \sum_{j=i+1}^n a_{ij} * x_j^{(k)})}{a_{ii}} \quad (4)$$

이다.⁽¹¹⁾

그런데 Jacobi방법은 $x_2^{(k+1)}$ 의 해를 구할 경우 최종에 구하여진 해 $x_1^{(k+1)}$ 을 사용하지 않는다.

이러한 단점을 보완한 것이 Gauss Seidel방법인데 이를 수식적으로 표현하면

For $i=1,2,3,\dots,n$

$$x_i^{(k+1)} = \frac{(b_i - \sum_{j=1}^{i-1} a_{ij} * x_j^{(k+1)} - \sum_{j=i+1}^n a_{ij} * x_j^{(k)})}{a_{ii}} \quad (5)$$

여기에서 $x_1^{(k+1)}$ 가 계산과정에 포함되어 조건 더러 사용한 값이 계산과정에 포함됨으로 차라 속도가 빠름을 알 수 있다.

위의 두가지 방법에 대해서 전략과 시간 단축을 위하여 LU행렬을 사용한다.

$$L = \begin{vmatrix} 0 & \cdot & \cdot & \cdot & \cdot & \cdot & \cdot & 0 \\ a_{21} & \cdot \\ \cdot & \cdot \\ \cdot & \cdot \\ a_{n1} & \cdot & \cdot & \cdot & \cdot & \cdot & \cdot & a_{nn-1} & 0 \end{vmatrix} \quad (6)$$

$$D = diag(a_{11}, \dots, \dots, a_{nn}) \quad (7)$$

$$U = \begin{vmatrix} a_{12} & \cdot & \cdot & \cdot & \cdot & \cdot & a_{1n} \\ \cdot & \cdot & \cdot & \cdot & \cdot & \cdot & a_{2n} \\ \cdot & \cdot & \cdot & \cdot & \cdot & \cdot & \cdot \\ 0 & \cdot & \cdot & \cdot & \cdot & \cdot & a_{1-nm} \\ & & & & & & 0 \end{vmatrix} \quad (8)$$

L, D, U행렬을 jacobi방법에 도입하면

$$\begin{aligned} M_j \cdot X^{(k+1)} &= N_j \cdot X^{(k)} + b \\ M_j = D & N_j = (L+D) \end{aligned} \quad (9)$$

Gauss Seidel 방법은

$$M_j \cdot X^{(k+1)} = N_j \cdot X^{(k+1)} + b \quad (10)$$

여기서 $M_j = (D+L)$ $N_j = -U$ 가 된다.

위 식에서 해가 얼마나 빨리 $X = A^{-1} B$ 에 수렴할 수 있는지가 중요하다. Gauss Seidel에 의한 방법이 Jacobi의 방법보다 수렴 속도가 약간 빠를 뿐만 아니라 계산기에 적용할 경우 간단하다.⁽¹⁰⁾

2. 정직화된 Tikhonov-Miller 방법의 분석

Gauss Seidel방법으로 신호처리시 가산값들이 포함되어 있는 훼손신호에 적용하였을 경우 잡음의 증폭이 발생한다.

이러한 단점을 보완한것이 Tikhonov Miller 방법이다.⁽¹⁰⁾

신호처리시 대개 훼손된 신호의 잡음향 norm의 가능한 균사치를 사용하게 된다.⁽⁸⁾

가능한 해의 잡함은 이 잡음 norm에 대한 개선도 ($y - H\hat{x}$)의 norm을 제안함으로써 정의할 수 있다.

정직화된 Tikhonov Miller방법은 식(1)에서 개선도의 norm을 구하면

$$\|y - H\hat{x}\|_R = [(y - H\hat{x})^T R(y - H\hat{x})]^{1/2} \leq E \quad (11)$$

여기서 범위 ε 은 훼손된 신호 y 의 잡음향의 합과 관련된 변수이다.

필터를 통과한 신호 $L\hat{x}$ 의 norm은

$$\|L\hat{x}\|_S = [(L\hat{x})^T S(L\hat{x})]^{1/2} \leq E \quad (12)$$

이고, 여기서 L 은 선형 정직화 연산자이다.

Miller의 정직화 연구에서는 식(11)와 (12)를 결합하여

$$\Phi(\hat{x}) = \|y - H\hat{x}\|_R^2 + \alpha \|L\hat{x}\|_S^2 \leq 2\varepsilon^2 \quad (13)$$

되고, 여기서 α 는 정직화변수로 고정된 값 $\alpha = (\frac{E}{\epsilon})^2$ 이다.

만약 해 \hat{x} 가 식(11)과 (12)의 범위를 만족한다면 식(13)을 만족한다.

역으로, 해 \hat{x} 가 식(13)을 만족한다면 식(11)과 (12)도 또한 만족한다. 식 (13)을 만족하는 해중에서 직선한 해는 \hat{x}_m 으로써 Miller의 정직화해로부터며, $\Phi(\hat{x})$ 를 최소화한다.

이 최소화 해는 다음과 같이 주어진다.

$$(H'RH + {}_aL^T SL) \hat{x}_m = {}_{H'}Ry \quad (14)$$

$$\hat{x}_m = \frac{{}_{H'}Ry}{{}_{H'}RH + {}_aL^T} \quad (15)$$

로 구해진다.

III. 제안된 알고리즘

Tikhonov Miller방법은 Gauss Seidel방법을 수정보완한것으로 반복신호처리에 따른 처리시간이 많이 소요된다.

즉, 신호처리를 기준의 방법으로 한 경우 반복처리에 따른 처리시간이 문제가 된다. 이러한 단점을 보완하기 위하여 어떠한 경우에도 수렴속도가 늦어지지 않으며, 가산점음이 포함된 훼손신호에 적용함에 있어 시도 전체 처리시간의 현저한 감소와 신호처리정도를 대폭 개선할 수 있는 새로운 알고리즘을 제안한다.

즉, Jacobi방법은

$$(X_i)^{(k+1)} = \frac{-1}{a_{ii}} [b_i - \sum_{j=1, j \neq i}^n a_{ij} \cdot X_j^{(k)}] \quad (16)$$

For $i = 1, 2, 3, \dots, n$ 이다.

Gauss-seidel방법은 위의 방법을 보완한 것으로

$$a_{ii} \cdot X_i^{(k+1)} = - \sum_{j=1}^{i-1} a_{ij} \cdot X_j^{(k+1)} - \sum_{j=i+1}^n a_{ij} \cdot X_j^{(k)} + b_i \quad (17)$$

For $i = 1, 2, 3, \dots, n$

즉, Jacobi방법의 계산속도를 빠르게 한 것이나 Gauss Seidel방법 역시 특이점(singular point)나 악 조건(ill condition)인 경우 수렴 속도가 매우 느려진다는 단점이 있다.

이것은 α_n 항이 D 가 0인 (특이점)인 경우 식 (10)의 M_p 항이 적어서 수렴속도가 느려진다는 것이다.

이것은 식(10)에서

$$D \cdot X^{k+1} = -L \cdot X^{k+1} - U \cdot X^k + b \quad (18)$$

와 같이 된다. 여기서

- D : 대각선 행렬
- L : 하부 삼각 행렬
- U : 상부 삼각 행렬

식 (18)를 정리하면

$$X_i^{(k+1)} = \frac{1}{a_{ii}} [b_i - \sum_{j=1}^{i-1} a_{ij} \cdot X_j^{(k+1)} - \sum_{j=i+1}^n a_{ij} \cdot X_j^{(k)}] \quad (19)$$

For $i = 1, 2, 3, \dots, n$

으로 볼 수 있는데 (K+1)번째의 분자해 $X^{(k+1)}$ 에 대하여

$$A \cdot X^{(k+1)} = B^{(k+1)} \text{이라하면} \quad (20)$$

$$R^{(k+1)} = B^{(k+1)} - A \cdot X^{(k)}$$

여기서 $R^{(k+1)}$ 은

$$R^{(k+1)} = [(r_1)^{k+1}, (r_2)^{k+1}, \dots, (r_n)^{k+1}]^T \quad (21)$$

과 같아 되는데 이 것을 개선도 벡터(Residual vector)라고 한다.

$$R^{(k+1)} = B^{(k+1)} - AX^{(k)}$$

이 말의 의미는 $= B^{(k+1)} - B^{(k)}$ 이므로

($k+1$)번째 신호가 (k)번째 신호보다 얼마나 개선되었는가를 나타낸다.

$R^{(k+1)} = 0$ 이면 $X^{(k+1)}$ 가 정해지지만 대개는 $R^{(k+1)} = 0$ 이 아니다.

특히 Gauss-Seidel 모델에서의 $(r_i)^{k+1}$ 은

$$(r_i)^{k+1} = b_i - \sum_{j=1}^{i-1} a_{ij} \cdot X_j^{(k+1)} - \sum_{j=i+1}^n a_{ij} \cdot X_j^k \quad (22)$$

이므로

$$a_{ii} \cdot X_i^k + (r_i)^{k+1} = b_i - \sum_{j=1}^{i-1} a_{ij} \cdot X_j^{(k+1)} - \sum_{j=i+1}^n a_{ij} \cdot X_j^k \quad (23)$$

(19)식과 (23)식에서

$$a_{ii} \cdot X_i^k + (r_i)^{k+1} = a_{ii} \cdot X_i^{k+1} \quad (24)$$

$$\text{즉}, X_i^{k+1} = X_i^k + \frac{(r_i)^{k+1}}{a_{ii}} \quad (25)$$

개선도 벡터가 0일 경우에 반복이 멈추어 진다. 그러나 보통 이 값은 0이 아니므로 수렴성의 확실성을 회박하게 한다. 그러므로 여기서 개선도 벡터(Residual vector) R^{k+1} 의 노름을 감소시키기 위하여 식 (25)을 수정하여

$$(X_i)^{k+1} = (x_i)^k + W \cdot \frac{(r_i)^{k+1}}{a_{ii}} \quad (26)$$

로 하여 W 의 값에 따라 수렴속도를 조절할 수 있는 방법을 제시한다. W 의 도입은 $(r_i)^{(k+1)}$ 의 개선도 vector가 실제로 0이 안됨으로 수렴성을 가속화하기 위한 상수값이다.

여기서 W 값을 구하기 위하여

$$\rho(A) = \max \{ |\lambda| \} \quad (27)$$

와 같이 정의한다.

만약 λ 는 A 의 고유치이고 만약 $\lambda = a+bi$ 이면

$$|\lambda| = \sqrt{a^2 + b^2}$$

n차 정방 행렬

$$A = \begin{bmatrix} a_{11} & a_{12} & \cdots & \cdots & \cdots & \cdots & a_{1n} \\ \vdots & \vdots & & & & & \vdots \\ a_{n1} & \cdots & \cdots & \cdots & \cdots & \cdots & a_{nn} \end{bmatrix} \text{에서}$$

$$L = \begin{bmatrix} 0 & \cdots & \cdots & \cdots & \cdots & \cdots & \cdots & 0 \\ a_{21} & \ddots \\ \vdots & & & & & & & \vdots \\ a_{n1} & \cdots & \cdots & \cdots & \cdots & \cdots & \cdots & a_{nn-1} & 0 \end{bmatrix},$$

$$D = \begin{bmatrix} a_{11} & \cdots & \cdots & \cdots & \cdots & \cdots & 0 \\ a_{22} & \ddots & & & & & \vdots \\ \vdots & & & & & & \vdots \\ 0 & \cdots & \cdots & \cdots & \cdots & \cdots & a_{nn} \end{bmatrix}$$

$$U = \begin{bmatrix} 0 & \cdots & \cdots & \cdots & \cdots & \cdots & a_{1n} \\ \vdots & & & & & & \vdots \\ 0 & \cdots & \cdots & \cdots & \cdots & \cdots & a_{n-1n} \\ 0 & \cdots & \cdots & \cdots & \cdots & \cdots & 0 \end{bmatrix}$$

$$A = L + D + U \quad (28)$$

$$T = D^{-1}(L + U) \text{라 할 때} \quad (29)$$

$$W = \frac{2}{1 + \sqrt{1 - \rho(T)^2}} \quad (30)$$

로 하면 수렴 속도가 가장 빠른것이 증명되어 있다. (11,12)

여기에서 $\rho(T)$ (행렬 T 의 최대반경)를 구할시에는 실수 요소로 된 n차 정방행렬 A 의 고유치 $(\lambda_i)_{i=1}^n$ 에 대하여

$$|\lambda_1| > |\lambda_2| \geq |\lambda_3| \geq \cdots \geq |\lambda_n| \quad (31)$$

을 가정하고 A 는 1차 동립인 고유벡터 $(U_i)_{i=1}^n$ 을 갖는다고 하자.

또 n 차 열 벡터 X_0 는

$$X_0 = \alpha_1 U_1 + \alpha_2 U_2 + \alpha_3 U_3 + \cdots + \alpha_n U_n \quad (32)$$

이를 $AU_i = \lambda_i U_i$ 에서

$$A(AU_i) = A\lambda_i U_i = \lambda_i(AU_i)$$

$$\text{즉, } A^2 U_i = (\lambda_i)^2 U_i \quad (33)$$

$$A^3 U_i = (\lambda_i)^3 U_i$$

\vdots

\vdots

$$A^k U_i = (\lambda_i)^k U_i \quad (34)$$

마음에 같은 수를

$$X_0 = A$$

$$X_1 = AX_0$$

$$X_2 = AX_1, \quad (X_2 = A^2 X_0) \quad (35)$$

$$\vdots$$

$$X_k = AX_{k-1}, \quad (X_k = A^k X_0)$$

을 만들면 적 (32), (33), (34)에서

$$\begin{aligned} X_k &= A^k \cdot X_0 \\ &= \alpha_1 A^k U_1 + \alpha_2 A^k U_2 + \cdots + \alpha_n A^k U_n \\ &= \alpha_1 (\lambda_1)^k U_1 + \alpha_2 (\lambda_2)^k U_2 + \cdots + \alpha_n (\lambda_n)^k U_n \\ &\quad \vdots \\ &= (\lambda_1)^k (\alpha_1 U_1 + \alpha_2 (\frac{\lambda_2}{\lambda_1})^k U_2 + \cdots + \alpha_n (\frac{\lambda_n}{\lambda_1})^k U_n) \end{aligned} \quad (35)$$

가 된다.

식 (31)의 조건하에서 K 가 증가하면

$X_k = (\lambda_1)^k \alpha_1 \cdot U_1$ 이 된다.

또 $X^{k+1} = (\lambda_1)^{k+1} \alpha_1 U_1$ 및 $X^{k+1} =$

$(\lambda_1)^k (\lambda_1) \cdot \alpha_1 U_1 = (\lambda_1)^k X_k$ 이므로 이것을 이용하여 λ_1 을 구할 수 있다.

이를 (1), $(\lambda_1)^k = \frac{X^{k+1}}{X^k}$ 에 의하여 λ_1 을 구한려면 (36)

매 단계마다 벡터계산이 필요하다. 이런 점을 제기하기 위하여 예(例)를 살펴보자.

$$X'_k \cdot X_{k+1} = (\lambda_1)^k \cdot X'_k \cdot X_k \circ [1, 1]$$

(X'_k 는 X_k 의 전치벡터)

$$\lambda_1 = \frac{X'_k X_{k+1}}{X'_k X_k} \text{로 } \circ \text{구하면 scalar 계산이 된다.}$$

만약 X_{k+1} 의 절대적 최대요소를 X_k 의 절대적 최대요소로 구하면 λ_1 을 구할 수 있으나 이 방법은 매 단계마다 절대적 최대요소를 판별해석 구해야 하고 또 $|\lambda_1| > 1$ 이면 그 증가 할 수록 X_k 도 커지고 $|\lambda_1| < 1$ 이면 감소하여 사실 컴퓨터의 계산범위를 넘을 수 있다.

이상의 문제점을 해결하기 위하여

$X'_k X_k = 1$ ($\parallel X_0 \parallel = 1$)인 초기자 X_0 를 선정하고 매 단계마다 l norm 을 이용한 정규화(normalization) 또는 scaling을 통하여 X_k 를 구하여 식 (36)으로써 scalar 계산을 통하여 λ_1 을 구한다.

이 암호화 과정은

(1) $X'_0 X_0 = 1$ 인 초기자 X_0 선정

(2) $i = 1$

(3) $Y_i = AX_{i-1}$

(4) $\beta_i = \|Y_i\|$ (절대적 λ_1)

(5) $\eta_i = \sqrt{Y'_i Y_i}$ (l_2 norm)

(6) $X_i = \frac{Y_i}{\eta_i}$ (X_i 는 $\|X_i\| = 1$ 인 고유벡터)

(7) 수렴 판정, λ_i 이 수렴하면 중지.

(8) $i = i+1$ ($i+1 = 1$)

(9) (3)부터 반복

알고리즘에서 계산되는 β_i 는

$$\beta_i = \frac{X_{i-1}^T Y_i}{X_{i-1}^T X_{i-1}} \text{ 이어야 한다.}$$

여기서 구한 β_i 값을 $\rho(T)$ 에 대입한다.

여기에서 구한 W 와 식 (26)과 식 (22)에서 신호처리에 적용될 최적화 알고리즘의식을 구하면

$$\begin{aligned} (\hat{x})^{k+1} &= (1 - W) \cdot (\hat{x})^k \\ &+ W [(\hat{x})^k - W_2 \cdot (y - H \hat{x}^k)] \end{aligned} \quad (37)$$

이다.(여기서 W_2 위의의 상수)

이 방법은 수렴 속도가 늦은 Gauss-Seidel방법을 개선하기 위하여 최적화 한 것이다.

(37)와 (17)을 비교하여 보면 $(1-W) \cdot (X_i)^k$ 와 $W \cdot W_2$ 가 사용되었다.

이 W_2 는 상수값으로 주어지므로 연산 속도에는 크게 미치지는 못하나 $(1-W) \cdot (X_i)^k$ 때문에 같은 반복횟수에 비하여 처리속도가 가속화되고 특이점, 악조건 W_2 는 상수이므로 빨리 수렴하게 된다.

반복 Tikhonov-Miller방법의 알고리즘 역시 Gauss-Seidel방법을 수정보완한 것이므로 가속상수의 도입과 신호처리의 최적화가 가능하다.

즉, 반복 Tikhonov-Miller방법의 장점을 도입하기 위해 식 (15)를 연속적으로 균사화함으로써

$$\hat{x}_0 = H^T \cdot y \quad (38)$$

$$x^{(k+1)} = (I - \alpha L^T L) \hat{x}^k + \beta H^T (y - H \hat{x}^k) \quad (39)$$

와 같이 구해진다.

여기서 전체 처리시간과 기억 용량의 증가함이 없이 특이점이나 악조건일 경우에도 수렴성을 보장받고, 가산잡음에 대해서도 처리정도를 현저히 개선시킬 뿐만 아니라 처리시간상의 문제점을 해결하기 위하여 식(37)

과 (39)를 정리하여 최적화하면 다음과 같다.

$$\begin{aligned} \hat{x}^{(k+1)} &= (1 - W_1) \hat{x}^k + W_1 [(I - \alpha L^T L) \hat{x}^k \\ &+ \beta H^T (y - H \hat{x}^k)] \end{aligned} \quad (40)$$

여기서 β 값은 전체연산속도를 최적화하는 값을 사용하였다.

여기서 W_1 과 β 는 상수로써 전체 연산속도에는 영향을 주지 않는다.

IV. 시뮬레이션 결과 및 고찰

본 논문에서 제안한 알고리즘의 유효성을 확인하기 위하여 영상신호처리에 적용시켜 보았다.

사용된 영상신호는 256×256 해상도 및 256의 계조도를 갖는 표준 영상을 사용하였다.

영상을 처리할 경우, 영상처리장치의 불완전함에 의해 흐려지고 가산잡음에 의해 훼손되어 있는데, 가산잡음은 영상의 형성, 진단, 저상과정에서 임의로 영상에 섞이게 된다.

본 논문에서는 표준 원 영상신호를 접착한 핫수로써 (PSF)로써 흐려지게 하고 흐려진 영상에 가우스 분포를 갖는 백색 잡음(Gaussian White Noise)을 가산하였다. 이 때 흐려진 영상의 신호 대 잡음비 BSNR의식은

$$\begin{aligned} BSNR &= \frac{\text{variance of the blurred imaged}}{\text{variance of the additive noise}} \\ &= \frac{\sigma^2 H \cdot x}{\sigma^2 n} \end{aligned}$$

(41)

과 같다.

본 논문에서 사용된 가산잡음은 20dB의 신호 대 잡음비를 가지는 백색 잡음을 사용하였다.

다음과 같이 정의한다.

$$MSE = \frac{1}{M \cdot N} \sum_{i=1}^N \sum_{j=1}^M (X(i, j) - \hat{X}(i, j))^2 \quad (42)$$

훼손된 영상의 MSE는 268.42588이다.

표(1)과 그림(1)은 Tikhonov-Miller방법과 제안된 알고리즘의 평균 자승오차(MSE)를 시간에 대해 비교하여 보았다.

제안된 알고리즘에서 사용된 가속상수는 $W_1=0.5$, $\beta=9.0$ 값을 사용하였으며, IBM PC 486 기종을 사용하여 시뮬레이션한 처리시간을 측정, 비교하였다.

표 1. 처리시간에 대한 평균자승오차(MSE)의 비교

TABLE 1. Compared MSE for processed time

반복회수	기존의 방법 Tikhonov_miller	제안된 알고리즘 proposed	처리시간	
			(sec)	(sec)
1	170.51861	153.70055	90	
2	161.51880	162.10704	180	
3	158.12446	166.82231	270	
4	157.05745	170.49918	350	
5	157.03006	173.55008	440	
6	157.51382	176.21103	540	
7	158.21780	178.02766	630	
8	159.02305	180.91017	720	
9	159.86145	183.00803	800	
10	160.70941	183.21865	890	

표 2. 가속시간(9초)에서의 가속상수에 따른 영상신호처리의 처리 오차(MSE) 비교

Table 2. Compared MSE of image singal process by the standard time (9sec)

보다 나은 처리속도를 가진 컴퓨터를 사용한다면, 처리시간은 단축될 수 있을 것이다.

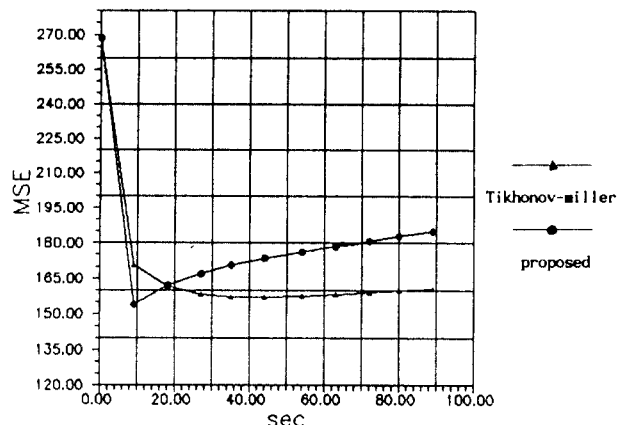


그림 1. 처리시간에 대한 평균자승오차(MSE)의 비교

Fig. 1. Compared MSE for processed time

또 가속상수 W_1 , β 에 따른 영상신호의 오차와 처리시간을 같은 시간에 걸쳐서 모두 구해본 결과 제안된 최적화 알고리즘의 유효성을 확인할 수 있었다.

표 3. 2. 가속시간(9초)에서의 가속상수에 따른 영상신호처리의 처리 오차(MSE) 비교

Table 3. Compared MSE of image singal process by the standard time (9sec)

#	0.5	1.0	1.5	2.0	2.5	3.0	3.5	4.0	4.5	5.0	5.5	6.0	6.5	7.0	7.5	8.0	8.5	9.0	9.5	10.0		
0.5	186.89895	189.96997	174.94111	170.51861	167.01688	164.17285	161.86176	159.26837	158.46642	157.24340	156.26702	156.49797	154.92048	154.45954	154.13467	153.92280	153.59417	153.76865	153.79979	153.85528		
1.0	180.18077	170.31864	164.17285	159.96857	157.24340	155.6749	154.45954	153.92280	153.86000	154.23355	154.76541	156.22035	156.20759	157.08797	158.05681	159.10776	160.23810	161.44586	162.31222			
1.5	174.84111	164.17285	158.46642	156.6749	154.13467	153.76865	154.04048	154.76541	156.40465	157.08797	158.51707	160.23810	162.07655	164.1052	168.33882	171.59865	174.75666	176.26949	183.30735			
2.0	170.51861	159.96857	156.6749	153.92280	153.86000	154.76541	156.20759	158.05681	160.23810	161.72122	165.26702	168.62285	172.61038	177.24478	183.37575	182.95119	184.41056	181.25855	184.23985	183.50038		
2.5	167.01688	157.24340	154.13467	153.86000	155.08037	157.07979	159.03232	162.73122	166.33882	170.03282	175.03277	180.35735	186.00388	188.14905	192.54059	195.08585	198.01985	198.25064	193.14725	198.50033		
3.0	161.72122	156.6749	153.76865	154.76541	156.20759	157.08797	160.23810	164.1052	166.82275	171.76646	183.37575	201.7674	211.25654	212.22027	218.96830	221.20044	224.74057	226.00008	227.56628	229.17405		
3.5	161.35176	154.55654	154.04048	155.20755	150.6322	164.1052	169.76972	172.24789	189.87626	193.14919	191.25654	201.7674	207.12859	211.25654	212.22027	218.96830	221.20044	224.74057	226.00008	227.56628	229.17405	
4.0	158.12446	153.76865	156.40465	156.20759	157.08797	160.23810	164.1052	166.82275	171.76646	183.37575	191.25654	201.7674	207.12859	211.25654	212.22027	218.96830	221.20044	224.74057	226.00008	227.56628	229.17405	
4.5	157.47442	153.76865	156.40465	160.23810	166.33882	171.59865	174.75666	176.26949	178.02766	180.21252	182.20277	184.24057	186.00388	188.14905	190.21252	192.54059	195.08585	198.01985	198.25064	193.14725		
5.0	157.24340	159.03232	157.08797	162.73122	170.03282	183.37575	186.00388	188.14905	190.21252	192.54059	195.08585	198.01985	198.25064	193.14725	196.22027	198.96830	200.20044	203.74057	206.00008	207.56628	209.17405	
5.5	156.22035	154.13467	158.51707	156.40465	173.96392	201.96784	206.03494	204.73474	216.31087	210.61541	212.35282	214.46922	217.51029	220.71778	221.17177	224.23023	226.43293	228.64543	230.85812	233.07081	235.28350	
6.0	156.07943	154.76541	160.23810	163.82285	183.37575	111.25654	167.96392	171.76646	180.21252	182.20277	184.24057	186.00388	188.14905	190.21252	192.54059	195.08585	198.01985	198.25064	193.14725	196.22027	198.96830	
6.5	154.30248	159.42615	162.07864	172.41098	198.93700	141.22027	166.24007	170.03282	184.45431	192.54059	195.08585	198.01985	198.25064	193.14725	196.22027	198.96830	200.20044	203.74057	206.00008	207.56628	209.17405	
7.0	154.65564	156.20795	164.1052	177.24789	158.15000	167.96392	170.03282	172.73474	187.36382	190.18410	192.37178	193.33263	194.76879	197.28502	199.03575	199.61678	200.92988	202.02222	203.14524	204.26729		
7.5	154.13477	157.08797	166.33882	183.37575	272.67826	244.72004	264.93452	268.86335	302.72254	291.87620	101.17.93306	104.25.82865	107.16.80757	111.53.78020	113.93.74208	115.54.71406	116.55.68539	117.56.65751	118.57.62973	119.58.60195	119.59.57417	
8.0	153.92321	158.06111	168.82285	192.86519	402.15603	717.49870	871.42024	967.66759	927.71812	104.25.82865	107.16.80757	111.53.78020	113.93.74208	115.54.71406	116.55.68539	117.56.65751	118.57.62973	119.58.60195	119.59.57417	120.57.57717		
8.5	153.80417	159.07797	171.59865	244.41096	610.01985	769.28809	880.03100	929.15070	980.41678	1021.05520	1058.54438	1086.58538	1110.97177	1143.18730	1165.94267	1175.76654	1179.27085	1191.19720	1205.43457	1217.06508		
9.0	153.76865	160.23810	174.75666	111.25654	648.22054	798.12342	887.35528	927.14758	1022.70386	1012.54285	1075.61882	1104.65981	1131.70325	1162.85624	1175.95654	1194.19720	1207.17102	1243.20654	1257.35945			
9.5	153.73987	157.44589	178.59959	244.41096	700.14725	879.50445	922.74865	977.26624	1037.46379	1092.17904	1119.93.047	1142.69497	1161.45781	1179.88624	1197.22775	1205.42467	1213.20654	1229.86168	1241.32205			
10.0	153.85005	162.73122	183.37575	460.58335	740.50000	886.86335	937.18410	997.30162	1042.52865	1080.21582	1119.26797	1130.90000	1158.52747	1170.79777	1187.08404	1203.77171	1227.08006	1243.54049	1254.42497			

가속상수와 반복처리시간에 따른 전체처리결과를 구하였으나 너무 방대한 양이므로 기준시간(9sec)에서의 가속변수에 따른 영상신호처리의 처리오차(Mean Square Error)를 그림(2)에서 도식화하고 표(2)에 자료를 정리하였다.

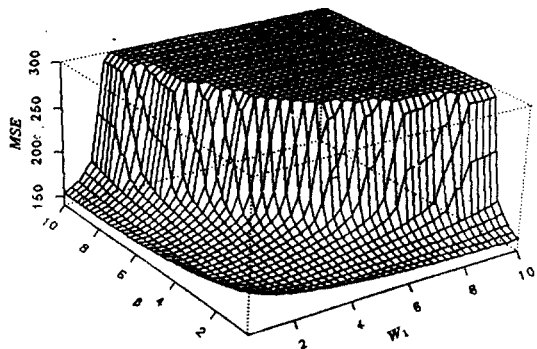


그림 2. 기준시간(9초)에서의 가속상수에 따른 영상신호처리의 처리오차(MSE)비교

Fig. 2. Compared MSE of image singal process by the standard time (9sec)

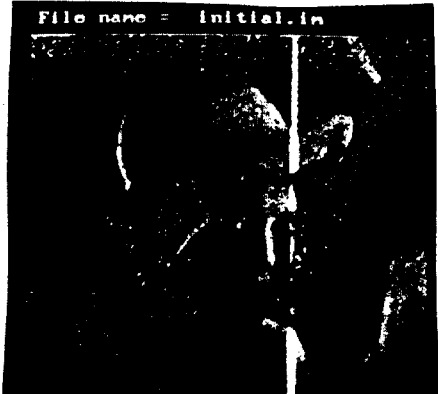
그림 [3]은 원영상과 훼손된 영상을 나타내었다.
여기서 (c)는 Tikhonov-Miller의 초기근사해를 위해 초기화한 영상이다.



(a) original image



(b) observed image(blurred-noisy image)



(c) initial image

그림 3. 원 영상과 훼손된 영상

Fig. 3. Original image and noisy-blurred image for BSNR=20dB

그림 [4]는 기존의 반복 Tikhonov-Miller방법을 사용하여 처리영상을 반복횟수(K)에 따라 나타내었고 그림 [5]는 제안된 방법에 의해 처리된 영상을 나타내았다.



(a) k=1



(d) k=4



(b) k=2



(c) k=5



(e) k=3



(f) k=6



(g) k=7



(j) k=10

그림 4. 기존의 반복 Tikhonov-Miller 방법에 의한 복원영상(K 반복회수)

Fig. 4. Restored image by conventional(Tikhonov-Miller) iterative method (k: iterative numbers)



(h) k=8



(i) k=9



그림 5. 제안된 방법에 의한 복원영상

Fig. 5. Restored image by proposed method

V. 결 론

신호는 그 형상, 감지, 가공, 전송의 단계를 거치는 동안 여러가지 원인에 의해 훼손되며, 훼손된 신호를 처리하여 원래의 입력신호와 가장 근사한 신호를 재현하는 기존의 많은 복원 방법은 여러가지 단점들이 발생하였다.

기준의 처리 방법은, 노이즈잡음에 의해 흐려진 천호를 처리하는 아래가의 방법들을 선형식 흐림에 의한 흐려짐을 처리하지 못함으로써 실제 응용에 많은 제약이 있으며, 흐림에 의한 흐려짐을 처리하는 반복 복원방법들은 가산잡음이 있을 시 그 복원과정에서 가산잡음의 증폭을 초래하여 오히려 더 흐려진 결과를 가져온다.

수 흐림 흐려짐과 가산잡음에 의한 흐려짐 복원지 처리로 상보적인 관계를 가진다. 또한, 흐림 흐려짐 천호를 반복복원 할 때 악조건이나 난립을 가질 경우 헛될 수단하지 않는 단점을 가지고 있으며, 이러한 악조건과 노이즈 문제를 해결하기 위한 공정이 필요하다.

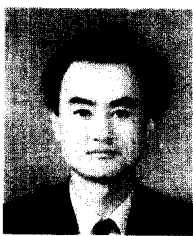
그러나, 이러한 공정은 실제 처리시간을 증가시키므로 해석 단점을 가져온다. 본 논문에서 제안한 알고리즘은 흐림흐려짐 가산잡음이 있는 실제의 천호를 처리함에 있어 악조건이나 난립을 해소도, 노이즈도 Tikhonov-miller의 전통 복원 방법에 대비해 그 자체 개념을 도입하여 반복처리를 하지 않고, 직접적으로 유니티으로써 대시대 천호처리식 단점 문제를 해소하는 본 처리시간을 해결하였으며, 가산잡음에 의한 계산을 일제히 감소시킨 방법이다. 본 논문에서 제시된 수학적 알고리즘은 기존의 알고리즘에 W_1 , β 의 값만을 무작위으로 사용하였다.

이것은 기존의 알고리즘의 모든 장점을 가산잡음에 대한 처리, 노이즈이나 악조건에서의 수렴성을 고려해 간직한 채 상수만을 사용함으로써 메모리와 증가를 필요로 하지않고 반복처리식의 단점인 실제 처리시간을 고수화시킨 방법이다.

제안된 알고리즘과 Tikhonov-miller방법을 시스템 힘수에 의해 흐려지고 20dB의 가산잡음이 있는 영상신호를 복원하는데 비교해 본 결과 실제 처리시간의 급격한 감소와 간편적인 평가 정도인 L_2 자승 오차(MSE)는 매우 높은 유통한 방법임을 확인할 수 있었다.

참 고 문 헌

- [1] H. C. Andrews and B. R. Hunt, Digital Image Restoration, Englewood Cliffs,NJ:Prentice Hall, 1977.
- [2] J. Biemond, E. G. Von der Putten, and J. W. Woods "Identification and restoration of images with symmetric non causal blur," IEEE Trans. Circuits Syst., vol. CAS-35, pp.385-394, 1988.
- [3] P. H. Westerink, J. Biemond, and P. H. L. de Bruin, "Digital color image restoration," in Signal Processing III/Theories and Applications, I. T. Young et al., Eds. Amsterdam, The Netherlands:Elsevier North Holland, 1986, pp. 761-764.
- [4] A. L. Steven, W. Zucker, and A. Rossenfeld, "Iterative enhancement of noisy images," IEEE Trans. Systems, Man and Cybernetics SMC-7, 1977, pp. 435-442.
- [5] H. J. Trussell and M. R. Civanlar, "The feasible condition in visual restoration," IEEE Trans. Acoust., Speech, Signal Processing, vol. ASSP-32, pp. 1001-1011, 1984.
- [6] A. K. Katsaggelos, J. Biemond, R. M. Mersereau, and R. W. Schafer, "A general formulation of constrained iterative image restoration algorithms," in Proc. IEEE Int. conf. Acoust., Speech, Signal Processing 1985, Timpa, Fl, 1985, pp. 700-703.
- [7] K. Miller, "Least squares methods for ill posed problems with a prescribed bound," SIAM J. Math. Anal., vol. 1, pp. 52-74, 1970.
- [8] Reginald L. Lagendijk and Jan Biemond, "Regularized iterative image restoration with ringing reduction," IEEE Trans. ASSP, vol. 36, NO. 12, December 1988.
- [9] A. N. Tikhonov and V. Y. Arsenin, solutions of Ill-posed problems, New York:Willey, 1977.
- [10] Lee W. Johnson, R. Dean Riess,"Numerical Analysis", Addison Wesley Publishing Company, 1982.
- [11] Richard L. Burden, J. Douglas Faires, Albert C. Reynolds:"Numerical Analysis", Prindle, Weber & Schmidt Boston, Massachusetts, 1981.
- [12] Melvin J. Maron:"Numerical Analysis", Macmillan publishing Co., Inc. New York..
- [13] Francis S. Sied:"Numerical Analysis", Schaum's outline ser²



權起弘(Kee Hong Kwon) 정회원

1989년 : 영남대학교 공과대학
전자공학과 학사

1991년 : 영남대학교 공과대학
전자공학(전자통신
신공)석사

1991년 : 영남대학교 공과대학
전자공학(전자통신 전
공) 박사과정 입학

1991년 ~ 현 : 신임전문대학 전자계산과 전임강사 재직